

Ergebnisse aus Versuchen zur Darstellung von Bis(trifluormethylsulphanyl)thioketen $(CF_3S)_2C=C=S^\dagger$

Alois Haas* and Hans-Walter Praas

*Lehrstuhl für Anorganische Chemie II der Ruhr-Universität Bochum, Postfach 10 21 48,
W-4630 Bochum (Germany)*

(Eingegangen den 16. Dezember 1991; akzeptiert den 4. Mai 1992)

Abstract

The attempted preparation of bis(trifluoromethylsulphanyl)thioketene is described. Mono- and di-(trifluoromethylsulphanyl)-substituted orthothioesters may be prepared from $CH_3C(SC_2H_5)_3$ and CF_3SCl in the presence of anhydrous $ZnCl_2$. The unstable compounds have been isolated and characterized. The corresponding CF_3Se and CF_3SO_2 derivatives are only formed as intermediates which decompose to ketene diethylmercaptal. Such mono- and di-substituted products are obtained in good yield from $H_2C=C(SC_2H_5)_2$ and CF_3ECl ($E = S, Se$). The reaction of $H_2C=C(SC_2H_5)_2$ with CF_3SO_2F gave only poor yields of $(CF_3SO_2)_nCH_2-n=C(SC_2H_5)_2$ ($n = 1, 2$) which were only capable of characterization in etheral solution by spectral means. Attempts to prepare $(CF_3S)_2C=C=S$ by refluxing $(CF_3S)_2CHC(O)Cl$, $(CF_3S)_2CHC(O)OH$ or $(CF_3S)_2C=C=O$ with P_4S_{10} in toluene yielded only the cyclic dimer and the corresponding 1,3,4-trithiolan.

Zusammenfassung

Mono- und di(trifluormethylsulfanyl)-substituierte Orthoessigsäuretrithioethylester werden durch umsetzen von $CH_3C(SC_2H_5)_3$ mit CF_3SCl in Gegenwart von wasserfreiem $ZnCl_2$ in guten Ausbeuten erhalten. Unter ähnlichen Reaktionsbedingungen können die korrespondierenden CF_3Se - und CF_3SO_2 -substituierten Orthoessigsäuretrithioethylester synthetisiert werden, die sich jedoch bei Reinigung unter Ethan-thiol Abspaltung zu den Ketendiethylmercaptalen $CH_2-n-(ECF_3)_n=C(SC_2H_5)_2$ ($E = S, Se, SO_2$) umlagern. Mono- und disubstituierte Ketenmercaptale werden in guten Ausbeuten bei der Umsetzung von $CH_2=C(SC_2H_5)_2$ mit CF_3ECl ($E = S, Se$) isoliert und vollständig charakterisiert. Bedeutend schlechter verläuft dagegen die Reaktion mit CF_3SO_2F unter der Bildung von $CH_2-n-(SO_2CF_3)_n=C(SC_2H_5)_2$ ($n = 1, 2$), dessen spektroskopische Charakterisierung nur aus einer Etherlösung gelingt. Versuche, das entsprechende $(CF_3S)_2C=C=S$ -Keten durch Umsetzen von $CH(SCF_3)_2C(O)Cl$, $CH(SCF_3)_2C(O)OH$ und $(CF_3S)_2C=C=O$ mit P_4S_{10} in Toluol unter Rückfluss zu erhalten, führte nur zur Bildung seines Dimeren und des 1,3,4-Trithiolans.

Einleitung

Halogenthioketene entziehen sich, wie ihre homologen Vertreter, die Halogenketene, aufgrund ihrer grossen Instabilität einer Reindarstellung, so

*Dedicated to Prof. Nobuatsu Watanabe on the occasion of his 70th birthday.

*Author to whom correspondence should be addressed.

dass sie bestenfalls nur als Intermediate in der organischen Synthese [1] Verwendung finden. Offensichtlich stabiler sind Perfluororganothioketen, denn das von Raasch [2] durch Pyrolyse von 2,3-Bis(hexafluorisopropyliden)-1,3-dithian hergestellte Bis(trifluormethyl)thioketen ist bei 25 °C mehrere Monate beständig. Substituiert man eine CF₃-Gruppe durch einen C₆H₅-Rest, so nimmt die Stabilität signifikant ab und Phenyl(trifluormethyl)thioketen [3] ist bei 20 °C in Lösung nur kurzfristig haltbar.

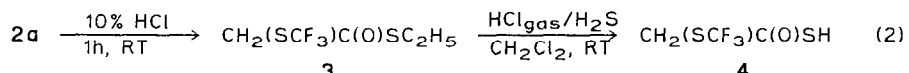
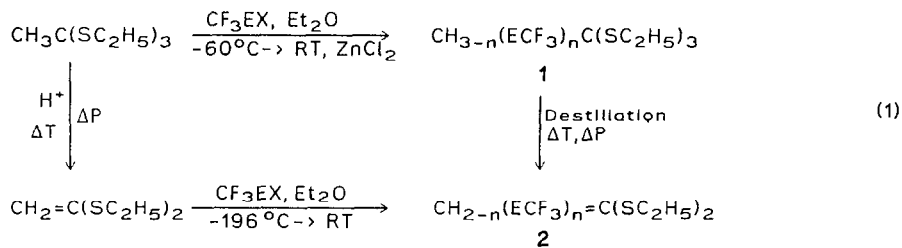
Nachdem gezeigt werden konnte, dass Bis(trifluormethylalkogenyl)ketene [4] stabil sind, ist der Versuch unternommen worden, entsprechende Thioketene zu synthetisieren, zu charakterisieren und im Erfolgsfall deren chemischen Verhalten zu studieren.

Ergebnisse und Diskussion

Synthese CF₃S-substituierter Vorstufen

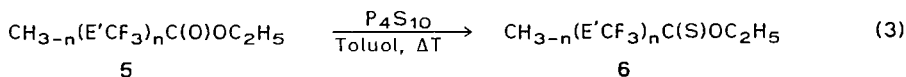
Zwei Verfahren erschienen hierfür erforlgversprechend: Substitutionsreaktionen am Orthoessigsäuretrithioethylester mit CF₃EX (E = S, SO₂, Se; X = Cl, F) [5, 6] in Analogie zu entsprechenden Umsetzungen der Orthoessigsäuretriethylesters gemäss Schema 1, sowie ein Sauerstoff–Schwefel-Austausch CF₃E'-substituierter Essigsäureethylester CH_{3-n}(E'CF₃)_nC(O)OC₂H₅ (E' = S, Se; n = 1, 2) mit gängigen Standardagzenien [7] nach Schema 2.

Setzt man Orthoessigsäuretrithioethylester mit CF₃EX (E = S, Se, SO₂; X = F, Cl) in Ether in Gegenwart von ZnCl₂ um, so lassen sich nur Trifluormethylsulphanyl- (**1a**) und Bis(trifluormethylsulphanyl)essigsäuretrithioethylester (**1b**) in Ausbeuten zwischen 10–30% isolieren. Während der Des-



1/2	a	b	c	d	e	f
E	S	S	Se	Se	SO ₂	SO ₂
n	1	2	1	2	1	2
X	Cl	Cl	Cl	Cl	F	F

Schema 1.



$5/6$	a	b	c	d
E'	S	S	Se	Se
n	1	2	1	2

Schema 2.

tillation, wie auch an Luft, zersetzen sie sich unter Ethanethiol-Abspaltung zu den Trifluormethylsulphanyl- (**2a**) und Bis(trifluormethylsulphanyl)keten-diethylmercaptal (**2b**).

Die Umsetzungen von CF_3SeCl bzw. $\text{CF}_3\text{SO}_2\text{F}$ mit $\text{CH}_3\text{C}(\text{SC}_2\text{H}_5)_3$ führten zwar über die Stufen **1c–f** die nicht isoliert werden konnten, direkt zu Trifluormethylselanyl- (**2c**), Bis(trifluormethylselanyl)- (**2d**), Trifluormethylsulphonyl- (**2e**) und Bis(trifluormethylsulphonyl)ketendiethylmercaptal (**2f**).

Diese Ergebnisse stehen in Einklang mit dem Verhalten von $\text{CH}_3\text{C}(\text{SC}_2\text{H}_5)_3$, das sich in Gegenwart von Säuren [7] bzw. Basen [8] oder während der Vakuumthermolyse zum Ketenmercaptal $\text{CH}_2=\text{C}(\text{SC}_2\text{H}_5)_2$ umlagert.

Mittels Reaktion von $\text{CH}_2=\text{C}(\text{SC}_2\text{H}_5)_2$ mit $\text{CF}_3\text{E}'\text{Cl}$ ($\text{E}'=\text{S}, \text{Se}$) lassen sich die Ketenmercaptale **2a** bis **2d** als stabile, luft- und feuchtigkeitsempfindliche Substanzen in Ausbeuten zwischen 65% und 81% isolieren. Bedeutend schlechter verlaufen dagegen Umsetzungen mit $\text{CF}_3\text{SO}_2\text{F}$. Während man **2e** immerhin noch in 10 proz. Ausbeute isolieren kann, gelingt eine Charakterisierung des in geringen Mengen entstandenen **2f** nur in Lösung durch ^{19}F -, ^{13}C -NMR und GC-MS-Spektroskopie.

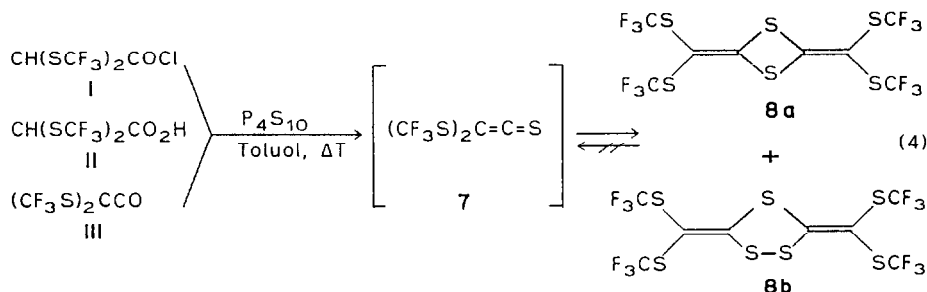
Die Acidolyse [Gl. 2] liefert über die Stufe des Trifluormethylsulphanyl-thioessigsäure-S-ethylesters (**3**), die -thioessigsäure (**4**). Die Bildung der für die weitere Thioketensynthese wichtigen Dithioessigsäuren konnte dabei nicht beobachtet werden.

Nachdem Umsetzungen von Trifluormethylchalkogenylessigsäureethylester (**5**) mit dem Lawesson'schen Reagenz zu keinen nennenswerten Sauerstoff-Schwefel-Austausch für E' = S bzw. Se führten, wurde auf die klassische Umsetzung von Trifluormethylchalkogenyl-substituierter Essigsäureethylester mit P_4S_{10} in Toluol zurückgegriffen.

Setzt man 5 mit P_4S_{10} in siedendem Toluol um, so isoliert man nach gaschromatographischer Reinigung Trifluormethylchalkogenylthioessigsäure-*O*-ethylester (**6**) in guten Ausbeuten. Für E=Se und $n=2$ liess sich eine Verbesserung der 35 proz. Ausbeute durch Temperatursteigerung nicht erreichen.

Bis(trifluormethylchalcogenyl)thioketen

Obwohl Thermolyse von Thioessigsäureethylester [9] bzw. Ketenmercaptale [10, 11] zu entsprechenden Thioketene führt, entstanden bei der Pyrolyse von **2d** bzw. **6b**, d. i. Vak. bei 420 °C keine Bis(trifluor-



Schema 3.

methylchalkogenyl)thioketene. Im Falle von **2b**, **d** konnten lediglich Zersetzungsprodukte wie z. B. COS, CSF_2 und $(\text{CF}_3\text{S})_2\text{C=S}$ IR- und NMR-spektroskopisch nachgewiesen werden.

In Anlehnung an Arbeiten von Elam *et al.* [12], die zum Erhalt des Bu^t_2CCS geführt hatten, wurde ein Sauerstoff–Schwefel-Austausch an $(\text{CF}_3\text{S})_2\text{CHC(O)Cl}$, $(\text{CF}_3\text{S})_2\text{CHC(O)OH}$ bzw. $(\text{CF}_3\text{S})_2\text{C}=\text{C=O}$ mit P_4S_{10} , jedoch ohne Zugabe von Pyridin oder Triethylamin (diese reagierten mit den Edukten), in Toluol gemäss Schema 3 durchgeführt.

Innerhalb von 2–3 d bei 145 °C bildet sich ein Gemisch aus dem 2,4-Bis[bis(trifluormethylsulphanyl)methylen]-1,3-dithietan (**8a**) und 2,5-Bis[bis(trifluormethylsulphanyl)methylen]-1,3,4-trithiolan (**8b**). Das bei dieser Reaktion intermediär gebildete Bis(trifluormethylsulphanyl)thioketen (**7**) entzog sich einer Reinisolierung unter sofortiger Dimerisation zu **8a**, während **8b** durch eine weitere Schwefel-insertion entstanden sein muss.

Die Herabsetzung der Reaktionstemperatur auf 80 °C führte zum Ausbleiben der Reaktion, während Temperaturerhöhung auf 200 °C die Gesamtgemischausbeute an **8a**, **b** sinken liess. Die Trennung und Bestimmung der Produktzusammensetzung von **8a**:**8b** erfolgte durch ‘Reverse-Phase HPLC’.

Versuche, **7** durch Thermolyse aus dem gereinigten Substanzengemisch an **8a** oder **8b** zu synthetisieren, führten nur zur vollständigen Zersetzung der Ausgangsverbindungen. Obwohl es unter diesen Bedingungen nicht gelang, **7** zu isolieren und zu charakterisieren, muss auf sein intermediäres Auftreten geschlossen werden. Es ist jedoch sehr unbeständig und dimerisiert sofort.

Experimentelles

Allgemeines

Luft- und feuchtigkeitsempfindliche Verbindungen werden entweder unter Argon (99.994%, über P_4O_{10} bzw. Molekularsieb getrocknet) oder in einer Standard-Vakuum-Apparatur mit Young-Ventilen gehandhabt. Glasgeräte wurden vor Gebrauch i. Vak. ausgeheizt. IR: Bruker JFS 85 FT (4000–400 cm^{-1}); je nach Aggregatzustand werden Gase in einer 10 cm-Gasküvette mit KBr-Fenster, Flüssigkeiten als Film zwischen KBr-Platten und Feststoffe als

KBr-Pressling vermessen. Schwache Banden und Schultern werden nicht aufgeführt. HPLC: HPLC-Pumpe: Schimatzu LC 8, Detektor: Spectrophotometer-Dupont-220 nm, Einkapillar-System, Loop-Injector-Theodyne. NMR: ¹H- und ¹⁹F-NMR: Bruker WP 80 [80 MHz, CDCl₃, 25 °C, CHCl₃ = 7.27 ppm; 75.3 MHz, CFCl₃, 25 °C, CFCl₃ = 0 ppm]; ⁷⁷Se-NMR: Bruker WM 250 [47.7 MHz, (CH₃)₂Se, 25 °C, (CH₃)₂Se = 0 ppm, hochaufgelöste heteronukleare Spektren]; ¹³C-NMR: Bruker AM 400 PFT [100.614 MHz, CDCl₃, 25 °C, CDCl₃ = 77.0 ppm, spezielle Relaxationsprobleme, quart. C-Atome]; chemische Verschiebung δ in ppm, Koppelungskonstanten J in Hz; Signalmultiplizitäten werden wie folgt abgekürzt: (s) = Singulett, (d) = Dublett, (t) = Triplet, (q) = Quartett, (m) = Multiplett. MS: Varian MAT CH 5, 70 eV, Emission 100 μ A. Bei Fragmenten mit Isotopenverteilungsmustern wird nur der intensivste Peak aufgeführt. Elementaranalyse: Kohlenstoff, Wasserstoff und Schwefel werden durch oxidative Aufschlussverfahren an einem Carlo Erba-Elementaranalyzer, Modell 1106 bestimmt; teilweise wurden trotz V₂O₅ als Verbrennungshilfe bei Selenverbindungen keine befriedigenden Elementaranalysen erhalten, da keine vollständige Verbrennung stattfindet bzw. schwerflüchtige Rückstände gebildet werden.

Die Ausgangsverbindungen CF₃SCl [13], CF₃SeCl [14], CF₃SO₂F [15], CH₃C(SC₂H₅)₃ [8], CH₂=C(SC₂H₅)₂ [7], **5a, b** [6], **5c, d** [4], CH(SCF₃)₂C(O)OH [5], CH(SCF₃)₂C(O)Cl [6] und (CF₃S)₂C=C=O [4, 6] werden nach bekannten, teils modifizierten Literaturvorschriften dargestellt.

Trifluormethylsulphanyl-substituierte Orthoessigsäuretrithioethylester (1)

*Allgemeine Arbeitsvorschrift für **1a** und **1b***

In einen gut ausgeheizten 250 ml Zweihalskolben, ausgestattet mit Intensivkühler (–60 °C Kryostat-Kühlung), aufgesetztem CaCl₂-Trockenrohr und Magnetührstab, werden zu einer Lösung von 5.0 g (23.8 mmol) CH₃C(SC₂H₅)₃, 10.0 g (73.4 mmol) wasserfreiem ZnCl₂ und 80 ml abs. Ether 3.5 g (23.8 mmol) CF₃SCl innerhalb von 10 min bei –50 °C eingeleitet. Die sich sofort tiefrot färbende Lösung wird 5 h bei dieser Temp. gerührt und über Nacht bis auf Raumtemp. aufgewärmt. Nach Entfernen des ausgesunkenen Feststoffs über eine trockene G3-Umkehrfritte sowie aller leichtflüchtigen Komponenten i. Vak. kann **1a**, **b** nur mittels ¹H, ¹⁹F-, ¹³C-NMR und GC-MS-Spektroskopie in Lösung nachgewiesen werden. Der Versuch, sie durch fraktionierte Destillation bzw. gaschromatographisch zu reinigen, lieferte nur die Eliminierungsprodukte **2a** und **2b**.

Trifluormethylsulphanylessigsäuretrithioethylester (**1a**): Einw.: 3.0 g (22.0 mmol) CF₃SCl; Ausb.: 1.5 g (30%). ¹H-NMR δ : 1.20 (t, 9H, CH₃); 2.70 (q, 6H, CH₂); 3.13 (s, 2H, CH₂SCF₃) ppm. ¹⁹F-NMR δ : –42.3 (s, 3F, CF₃) ppm. ¹³C-NMR δ : 13.9 [q, ¹J(C–H) = 128.0 Hz, von t, ³J(CH–CH₂) = 3.5 Hz, CH₃]; 26.4 [t, ¹J(C–H) = 141.1 Hz, von q, ³J(CH₂–CH₃) = 3.4 Hz, CH₂]; 42.8 [t, ¹J(C–H) = 142.5 Hz, CH₂SCF₃]; 67.9 (s, C); 130.2 [q, ²J(C–F) = 7.6 Hz, CF₃] ppm. MS [m/z (rel. Int.)]: 249 (4) [M⁺ – C₂H₅S]; 248 (35) [CHSCF₃C(SC₂H₅)₂]; 220 (29) [CH₂SCF₃C(S)SC₂H₅]; 195 (2) [C(SC₂H₅)₃];

192 (19) [$\text{CH}_2\text{SCF}_3\text{CS}_2\text{H}$]; 179 (4) [$\text{CH}(\text{S})\text{C}(\text{SC}_2\text{H}_5)_2$]; 115 (30) [CH_2SCF_3], 105 (19) [$\text{CS}_2\text{C}_2\text{H}_5$]; 69 (24) [CF_3]; 62 (91) [$\text{C}_2\text{H}_5\text{SH}$]; 61 (100) [$\text{C}_2\text{H}_5\text{S}$]; 58 (41) [CH_2CS]; 45 (59) [CSH].

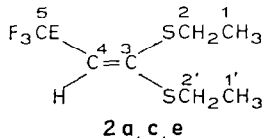
Bis(trifluormethylsulphanyl)essigsäuretrithioethylester (1b**):** Einw.: 9.0 g (66.0 mmol) CF_3SCl ; Ausb.: 0.95 g (9.8%). $^1\text{H-NMR}$ δ : 1.24 (t, 9H, CH_3); 2.85 (q, 6H, CH_2); 4.91 [s, 1H, $\text{CH}(\text{SCF}_3)_2$] ppm. $^{19}\text{F-NMR}$ δ : -41.7 (s, 6F, 2CF_3) ppm. $^{13}\text{C-NMR}$ δ : 13.8 [q, $^1\text{J}(\text{C}-\text{H})$ =128.3 Hz, von t, $^3\text{J}(\text{CH}_3-\text{CH}_2)$ =3.4 Hz, CH_3]; 27.9 [t, $^1\text{J}(\text{C}-\text{H})$ =141.2 Hz, von q, $^3\text{J}(\text{CH}_2-\text{CH}_3)$ =3.5 Hz, CH_2]; 54.7 [d, $^1\text{J}(\text{C}-\text{H})$ =153.4 Hz, $\text{CH}(\text{SCF}_3)_2$]; 67.1 (s, C); 129.4 [q, $^1\text{J}(\text{C}-\text{F})$ =308.4 Hz, CF_3] ppm. MS [m/z (rel. Int.)]: 348 (44) [$\text{M}^+ - \text{C}_2\text{H}_5\text{S}$]; 320 (7) [$\text{CH}(\text{SCF}_3)_2\text{CS}_2\text{C}_2\text{H}_5$]; 292 (9) [$\text{CH}(\text{SCF}_3)_2\text{CS}_2\text{H}$]; 279 (72) [$\text{C}(\text{S})\text{SCF}_3\text{C}(\text{SC}_2\text{H}_5)_2$]; 219 (13) [$\text{CHSCF}_3\text{CS}_2\text{C}_2\text{H}_5$]; 215 (42) [$\text{CH}(\text{SCF}_3)_2$]; 195 (2) [$\text{C}(\text{SC}_2\text{H}_5)_3$]; 191 (4) [$\text{CHSCF}_3\text{CS}_2\text{H}$]; 178 (30) [$(\text{C}_2\text{H}_5\text{S})_2\text{CCS}$]; 146 (59) [$\text{CC}(\text{SC}_2\text{H}_5)_2$]; 114 (28) [$\text{CH}(\text{SCF}_3)$]; 105 (12) [$\text{CS}_2\text{C}_2\text{H}_5$]; 88 (10) [SCCS]; 76 (17) [CS₂]; 69 (100) [CF_3]; 62 (94) [$\text{C}_2\text{H}_5\text{SH}$]; 45 (52) [CSH].

Trifluormethylchalkogenyl-substituierte Ketendiethylmercaptale (**2a-f**)

Allgemeine Syntheseangaben

In einem ausgeheizten 40 ml Cariusrohr, versehen mit Young-Hahn und Magnetrührstab, werden in einer typischen Reaktion 20.0 mmol $\text{CH}_2=\text{C}(\text{SC}_2\text{H}_5)_2$ mit 20.0 mmol CF_3EX in 15 ml abs. Ether umgesetzt. Die anfangs auftretende tiefrote Farbe verschwindet nach c. 30 min. Nach Entfernen aller leichtflüchtigen Bestandteile wird in einer Micro-Zinke-Apparatur (i. Vak./ 10^{-3} Torr) destilliert.

Trifluormethylsulphanylketen-diethylmercaptal (**2a**):



Einwaage: 3.0 g (20.3 mmol) $\text{CH}_2=\text{C}(\text{SC}_2\text{H}_5)_2$, 2.7 g (19.8 mmol) CF_3SCl ; Reaktionsbedingung: -196 °C (5 min), anschliessend Erwärmung auf 20 °C; Ausb.: 3.7 g (73.4%), Sdp.: 48 °C/10⁻¹ Torr, farblose Flüssigkeit. IR (cm⁻¹): 2975 (s); 2925 (s); 2868 (m); 1443 (m); 1417 (m); 1376 (m); 1263 (m); 1242 (m); 1226 (m); 1159 (vs); 1112 (vs); 1054 (m); 966 (m); 914 (s); 798 (s); 754 (s); 511 (w); 469 (m). $^1\text{H-NMR}$ δ : 1.22 (t, 6H, 1-H, 1'-H, CH_3); 2.76 (q, 2H, 2'-H, CH_2); 2.82 [q, 2H, 2-H, CH_2]; 6.51 [s, 1H, 4-H, $\text{CH}(\text{SCF}_3)$] ppm. $^{19}\text{F-NMR}$ δ : -42.81 (s, 3F, CF_3) ppm. $^{13}\text{C-NMR}$ δ : 14.05 [q, C-1', $^1\text{J}(\text{C}-\text{H})$ =127.8 Hz, von t, $^3\text{J}(\text{CH}_3-\text{CH}_2)$ =3.5 Hz, CH_3]; 14.80 [q, C-1, $^1\text{J}(\text{C}-\text{H})$ =129.7 Hz, von t, $^3\text{J}(\text{CH}_3-\text{CH}_2)$ =3.5 Hz, CH_3]; 27.87 [t, C-2/2', $^1\text{J}(\text{C}-\text{H})$ =141.2 Hz, von q, $^3\text{J}(\text{CH}_2-\text{CH}_3)$ =4.6 Hz, CH_2]; 119.1 [d, C-4, $^1\text{J}(\text{C}-\text{H})$ =181.9 Hz, von q, $^3\text{J}(\text{CH}-\text{SCF}_3)$ =3.5 Hz, $\text{CH}(\text{SCF}_3)$]; 132.0 [q, $^1\text{J}(\text{C}-\text{F})$ =309.0 Hz, von d, $^3\text{J}(\text{CF}_3-\text{SCH})$ =3.5 Hz, CF_3]; 135.2 [s, C-3] ppm. MS [m/z (rel. Int.)]: 248 (100) [M^+]; 179 (31) [$\text{CH}(\text{S})\text{C}(\text{SC}_2\text{H}_5)_2$]; 158 (10) [CF_3SCHCS]; 119 (34) [$\text{CH}_2\text{C}(\text{S})\text{C}_2\text{H}_5$]; 89 (33) [$\text{CH}(\text{S})\text{CS}$]; 69 (17) [CF_3]; 59 (21) [CH_3CS]; 45 (61) [CSH].

$C_7H_{11}F_3S_3$ (248.4): Ber.: C, 33.85; H, 4.4; S, 38.7 %. Gef.: C, 34.1; H, 4.4; S, 38.5%.

Bis(trifluormethylsulphanyl)keten-diethylmercaptal (**2b**): Einw.: 2.95 g (19.9 mmol) $CH_2=C(SC_2H_5)_2$, 6.50 g (47.6 mmol) CF_3SCl ; Reaktionsbedingung: $-196\text{ }^\circ C$ (1 h), anschliessend Erwärmten auf $30\text{ }^\circ C$; Ausb.: 4.5 g (65%), Smp.: 5 $^\circ C$, Sdp.: $61\text{ }^\circ C/10^{-3}$ Torr, schwach gelb gefärbte Flüssigkeit. IR (cm^{-1}): 2971 (m); 2928 (m); 1448 (m); 1430 (m); 1378 (m); 1261 (m); 1161 (vs); 1131 (vs); 1099 (vs); 1054 (m); 963 (m); 844 (m); 756 (s). 1H -NMR δ : 1.28 (t, 6H, CH_3); 3.01 (q, 4H, CH_2) ppm. ^{19}F -NMR δ : -42.16 (s, 6F, 2 CF_3) ppm. ^{13}C -NMR δ : 14.7 [q, $^1J(C-H)=127.8$ Hz, von t, $^3J(CH_3-CH_2)=3.1$ Hz, CH_3]; 31.7 [t, $^1J(C-H)=141.1$ Hz, von q, $^3J(CH_2-CH_3)=4.5$ Hz, CH_2]; 109.4 (s, C-4); 128.8 [q, $^1J(C-F)=312.8$ Hz, CF_3]; 132.2 (s, C-3) ppm. MS [m/z (rel. Int.)]: 348 (56) [M^+]; 279 (100) [$C(S)SCF_3C(SC_2H_5)_2$]; 220 (16) [$CH_2SCF_3CS_2C_2H_5$]; 178 (13) [$C(SC_2H_5)_2CS$]; 158 (21) [$CHSCF_3CS$]; 146 (71) [$CC(SC_2H_5)_2$]; 105 (33) [$CS_2C_2H_5$]; 89 (38) [$CHSCS$]; 76 (29) [CS_2]; 69 (68) [CF_3]; 61 (18) [SC_2H_5].

$C_8H_{10}F_6S_4$ (348.4): Ber.: C, 27.6; H, 2.9; S, 18.4%. Gef.: C, 28.0; H, 2.9; S, 18.7%.

Trifluormethylselanylketen-diethylmercaptal (**2c**): Einw.: 2.0 g (13.5 mmol) $CH_2=C(SC_2H_5)_2$, 2.45 g (13.4 mmol) CF_3SeCl ; Reaktionsbedingung: $-196\text{ }^\circ C$ (30 min), anschliessend Erwärmten auf $20\text{ }^\circ C$. Ausb.: 3.23 g (81%), Sdp.: $81\text{ }^\circ C/10^{-1}$ Torr, schwach gelb gefärbte Flüssigkeit. IR (cm^{-1}): 2976 (m); 2928 (m); 1448 (m); 1419 (m); 1263 (m); 1213 (m); 1134 (s); 1098 (vs); 967 (m); 902 (m); 757 (m); 738 (s); 703 (m). 1H -NMR δ : 1.23 (t, 1-H, 3H, CH_3); 1.24 (t, 1-H, 3H, CH_3); 2.74 (q, 2'-H, 2H, CH_2); 2.82 (q, 2-H, 2H, CH_2); 6.85 (s, 4-H, 1H, CH) ppm. ^{19}F -NMR δ : -35.9 (s, 3F, CF_3) ppm. ^{13}C -NMR δ : 14.2 [q, C-1', $^1J(C-H)=128.1$ Hz, von t, $^3J(CH_3-CH_2)=3.0$ Hz, CH_3]; 14.9 [q, C-1, $^1J(C-H)=128.1$ Hz, von t, $^3J(CH_3-CH_2)=3.0$ Hz, CH_3]; 28.0 [t, C-2', $^1J(C-H)=140.4$ Hz, von q, $^3J(CH_2-CH_3)=3.5$ Hz, CH_2]; 28.1 [t, C-2, $^1J(C-H)=140.4$ Hz, von q, $^3J(CH_2-CH_3)=3.5$ Hz, CH_2]; 120.4 [d, C-4, $^1J(C-H)=182.1$ Hz, von q, $^4J(CH-SeCF_3)=2.8$ Hz, $CHSeCF_3$]; 123.1 [q, C-5, $^1J(C-F)=330.0$ Hz, von d, $^4J(CF_3-SeCH)=3.0$ Hz, CF_3]; 133.1 (s, C-3) ppm. ^{77}Se -NMR δ : 553.4 (s, Se) ppm. MS [m/z (rel. Int.)]: 296 (100) [M^+]; 227 (23) [$CH(Se)C(SC_2H_5)_2$]; 199 (9) [$CH(Se)CSH(SC_2H_5)$]; 167 (43) [$CHSeC(SH)_2$]; 147 (20) [$CHC(SC_2H_5)_2$]; 137 (39) [$CHSeCCS$]; 118 (63) [$CC(S)SC_2H_5$]; 87 (52) [$CHC(SH)SC_2H_5$]; 69 (30) [CF_3]; 59 (38) [CH_2CHS]; 58 (58) [CH_2CS]; 45 (60) [CSH].

$C_7H_{11}F_3S_2Se$ (295.3): Ber.: C, 28.5; H, 3.7; S, 21.7%. Gef.: C, 29.0; H, 3.3; S, 21.7%.

Bis(trifluormethylselanyl)keten-diethylmercaptal (**2d**): Einw.: 2.0 g (13.5 mmol) $CH_2=C(SC_2H_5)_2$, 5.5 g (30.0 mmol) CF_3SeCl ; Reaktionsbedingung: $-196\text{ }^\circ C$ (2.5 h), anschl. Erwärmten auf $20\text{ }^\circ C$. Ausb.: 4.55 g (76%), Sdp.: $112\text{ }^\circ C/10^{-2}$ Torr, tief gelb gefärbte Flüssigkeit. IR (cm^{-1}): 2973 (m); 2930 (m); 1449 (m); 1378 (m); 1260 (m); 1132 (vs); 1093 (vs); 968 (m); 786 (m); 754 (m); 736 (s). 1H -NMR δ : 1.28 (t, 6H, CH_3); 2.94 (q, 4H, CH_2) ppm. ^{19}F -NMR δ : -35.5 (s, 6F, 2 CF_3) ppm. ^{13}C -NMR δ : 14.7 [q,

$^1J(C-H) = 128.2$ Hz, von t, $^3J(CH_3-CH_2) = 2.8$ Hz, CH₃; 31.3 [t, 1J(C-H) = 141.2 Hz, von q, $^3J(CH_2-CH_3) = 4.5$ Hz, CH₂]; 108.6 (s, C-4); 122.7 [q, 1J(C-F) = 336.0 Hz, CF₃]; 126.3 (s, C-3) ppm. ^{77}Se -NMR δ : 657.9 (s, 2Se) ppm. MS [m/z (rel. Int.)]: 444 (16) [M⁺]; 375 (10) [M⁺ - 69]; 296 (8) [C(SeCF₃)C(SC₂H₅)₂]; 234 (10) [CF₃SeCCSC₂H₅]; 206 (8) [CF₃SeCCS]; 197 (8) [C(Se)C(S)SC₂H₅]; 165 (13) [C(Se)CSC₂H₅]; 146 (100) [(C₂H₅S)₂CC]; 136 (15) [SeCCS]; 118 (20) [CC(S)SC₂H₅]; 89 (16) [CCS₂]; 80 (2) [Se]; 69 (16) [CF₃]; 59 (9) [CH₂CHS]; 45 (18) [CSH].

C₈H₁₀F₆S₂Se₂ (442.2): Ber.: C, 21.6; H, 2.3; S, 14.5%. Gef.: C, 24.3*; H, 2.3; S, 15.1%.

Trifluormethylsulphonylketen-diethylmercaptal (2e): Einw.: 2.56 g (17.3 mmol) CH₂=C(SC₂H₅)₂, 3.05 g (20.1 mmol) CF₃SO₂F; Reaktionsbedingung: - 196 °C (6 h), anschliessend Erwärmten auf 20 °C. Ausb.: 0.5 g (10%), nur in Lösung charakterissierbar. 1H -NMR δ : 1.30 (t, 1-H u. 1'-H, 6H, CH₃); 2.82 (q, 2'-H, 2H, CH₂); 2.88 (q, 2-H, 2H, CH₂); 6.97 (s, 4-H, 1H, CH) ppm. ^{19}F -NMR δ : - 84.2 (s, 3F, CF₃) ppm. ^{13}C -NMR δ : 14.0 [q, C-1', 1J(C-H) = 127.8 Hz, von t, $^3J(CH_3-CH_2) = 3.8$ Hz, CH₃]; 14.1 [q, C-1, 1J(C-H) = 127.7 Hz, von t, $^3J(CH_3-CH_2) = 3.8$ Hz, CH₃]; 27.2 [t, C-2', 1J(C-H) = 139.2 Hz, von q, $^3J(CH_2-CH_3) = 3.8$ Hz, CH₂]; 33.5 [t, C-2, 1J(C-H) = 141.1 Hz, von q, $^3J(CH_2-CH_3) = 3.8$ Hz, CH₂]; 134.1 [q, C-5, 1J(C-F) = 328.4 Hz, CF₃]; 138.0 (s, C-3) ppm. MS [m/z (rel. Int.)]: 280 (2) [M⁺]; 211 (44) [CHSO₂C(SC₂H₅)₂]; 194 (8) [OSCC(SC₂H₅)₂]; 162 (98) [(C₂H₅S)₂CCO]; 147 (19) [CHC(SC₂H₅)₂]; 133 (11) [CF₃SO₂]; 78 (14) [H₂CS₂]; 69 (17) [CF₃]; 61 (100) [C₂H₅S]; 45 (60) [CSH].

Bis(trifluormethylsulphonyl)keten-diethylmercaptal (2f): Einw.: 1.0 g (6.8 mmol) CH₂=C(SC₂H₅)₂, 3.6 g (23.7 mmol) CF₃SO₂F; Reaktionsbedingung: - 196 °C (24 h), anschliessend Erwärmten auf 20 °C. Substanz 2f ist nur in sehr geringen Ausbeuten entstanden, so dass eine Charakterisierung nur mittels ^{19}F -, ^{13}C -NMR und GC-MS durchgeführt werden konnte. ^{19}F -NMR δ : - 79.2 (s, 6F, 2CF₃) ppm. ^{13}C -NMR δ : 14.95 [q, C-1, 1J(C-H) = 128.3 Hz, CH₃]; 35.6 [t, C-2, 1J(C-H) = 146.4 Hz, CH₂]; 117.6 [s, C-4, C(SO₂CF₃)₂]; 132.4 [q, C-5, 1J(C-F) = 328.4 Hz, CF₃]; 137.6 (s, C-3) ppm. MS [m/z (rel. Int.)]: 412 (4) [M⁺]; 279 (6) [C(SO₂CF₃)C(SC₂H₅)₂]; 210 (31) [CSO₂C(SC₂H₅)₂]; 178 (100) [(C₂H₅)₂CCS]; 146 (20) [CC(SC₂H₅)₂]; 133 (51) [CF₃SO₂]; 69 (42) [CF₃]; 61 (91) [C₂H₅S]; 45 (40) [CSH].

Trifluormethylsulphanlythioessigsäure-S-ethylester (3)

Röhrt man 2.0 g (8.1 mmol) 2a eine Std. bei Raumtemp. mit 10 ml 10 proz. HCl, erhält man nach anschliessender viermaliger Extraktion mit je 5 ml CH₂Cl₂, Trocknung der gesammelten Lösungen über MgSO₄ und Destillation des Filtrats, 3 als farblose Flüssigkeit.

Ausb.: 1.24 g (75%), Sdp.: 36 °C/10⁻² Torr. IR (cm⁻¹): 2993 (m); 2957 (m); 1748 (vs); 1392 (m); 1374 (s); 1314 (s); 1121 (vs); 1085 (vs); 758 (m). 1H -NMR δ : 1.28 (t, 3H, CH₃); 2.95 (q, 2H, CH₂); 3.63 (s, 2H, CH₂SCF₃)

*Aufgrund des sich bildenden SeO₂, fällt der Analysewert höher aus.

ppm. $^{19}\text{F-NMR}$ δ : -42.3 (s, 3F, CF_3) ppm. $^{13}\text{C-NMR}$ δ : 14.9 [q, $^1\text{J}(\text{C}-\text{H})$ =129.3 Hz, CH_3]; 30.1 [t, $^1\text{J}(\text{C}-\text{H})$ =141.2 Hz, CH_2]; 41.4 [t, $^1\text{J}(\text{C}-\text{H})$ =143.2 Hz, CH_2SCF_3]; 129.8 [q, $^1\text{J}(\text{C}-\text{F})$ =307.1 Hz, CF_3]; 181.4 (s, $\text{C}=\text{O}$) ppm. MS [m/z (rel. Int.)]: 205 (5) [$\text{M}^+ + 1$]; 115 (100) [CH_2SCF_3]; 89 (40) [$\text{CO}(\text{SC}_2\text{H}_5)$]; 75 (7) [CSCF_1]; 69 (61) [CF_3]; 63 (13) [CSF]; 59 (32) [CH_2CHS].

$\text{C}_5\text{H}_7\text{F}_3\text{OS}_2$ (204.2): Ber.: C, 29.4; H, 3.4; S, 15.7%. Gef.: C, 29.3; H, 3.3; S, 16.1%.

Trifluormethylsulphanylthioessigsäure (4)

Leitet man in eine Lösung von 2.0 g (8.1 mmol) **2a**, 10 ml 10 proz. HCl und 10 ml CH_2Cl_2 , innerhalb von 15 min unter Rühren bei Raumtemp. H_2S ein, so kann neben dem Hauptprodukt $\text{CH}_2\text{SCF}_3\text{C}(\text{O})\text{OH}$ ($^{19}\text{F-NMR}$ - und Massenspektrum identisch mit denen einer autentischen Probe) noch **4** in geringen Ausbeuten spektroskopisch nachgewiesen werden.

Ausb.: 0.15 g (10.5%) in Lösung. $^1\text{H-NMR}$ δ : 3.89 (s, 2H, CH_2SCF_3); 8.9 (br, 1H, OH) ppm. $^{19}\text{F-NMR}$ δ : -42.1 (s, 3F, CF_3) ppm. $^{13}\text{C-NMR}$ δ : 39.4 [t, $^1\text{J}(\text{C}-\text{H})$ =141.6 Hz, CH_2SCF_3]; 194.3 (s, $\text{C}=\text{S}$) ppm. MS [m/z (rel. Int.)]: 176 (15) [M^+]; 115 (100) [CH_2SCF_3]; 89 (84) [$\text{CH}(\text{S})\text{CS}$]; 69 (77) [CF_3]; 63 (12) [CSF]; 45 (49) [CSH].

Trifluormethylchalkogenyl-thioessigsäureethylester (6)

Allgemeine Arbeitsvorschrift

In einer typischen Reaktion werden 10 mmol des entsprechenden Trifluormethylchalkogenyl-substituierten Esters **5** mit 10 mmol P_4S_{10} in 10 ml abs. Toluol am Rückfluss erhitzt, nach Abkühlen auf Raumtemp. wird das Gemisch über eine G3-Umkehrfritte vom anhaftenden Feststoff getrennt, i. Vak. über einer Zinke-Apparatur vorfraktioniert und schlüsslich gaschromatographisch aufgearbeitet.

Trifluormethylsulphanylthioessigsäureethylester (**6a**): Einw.: 1.9 g (10.1 mmol) **5a**, 4.45 g (10.0 mmol) P_4S_{10} ; Reaktionsbedingung: 3 d, 125 °C; Trennparameter: 3 m (i.D.=6 mm) Säule, OV 101, 10% auf Chromosorb P AW, 45–60 mesh, 105 °C, He-Strom: 80 ml min^{-1} . Ausb.: 1.57 g (76.2%), Sdp.: 73 °C/18 Torr, schwach gelb gefärbte Flüssigkeit. IR (cm^{-1}): 2989 (m); 1446 (m); 1405 (m); 1392 (m); 1370 (s); 1308 (vs); 1244 (vs); 1193 (vs); 1140 (vs); 1021 (s); 757 (m). $^1\text{H-NMR}$ δ : 1.40 (t, 3H, CH_3); 4.03 (s, 2H, CH_2SCF_3); 4.57 (q, 2H, CH_2) ppm. $^{19}\text{F-NMR}$ δ : -42.14 (s, 3F, CF_3) ppm. $^{13}\text{C-NMR}$ δ : 13.35 [q, $^1\text{J}(\text{C}-\text{H})$ =127.8 Hz, CH_3]; 42.8 [t, $^1\text{J}(\text{C}-\text{H})$ =145.0 Hz, CH_2SCF_3]; 69.7 [t, $^1\text{J}(\text{C}-\text{H})$ =148.9 Hz, von q, $^3\text{J}(\text{CH}_2-\text{CH}_3)$ =4.4 Hz, CH_2]; 130.2 [q, $^1\text{J}(\text{C}-\text{F})$ =307.1 Hz, von t, $^4\text{J}(\text{CF}_3\text{S}-\text{CH}_2)$ =4.8 Hz, CH_2]; 213.0 (s, $\text{C}=\text{S}$) ppm. MS [m/z (rel. Int.)]: 204 (72) [M^+]; 176 (5) [$\text{CH}_2\text{SCF}_3\text{C}(\text{O})\text{SH}$]; 159 (16) [$\text{CH}_2\text{SCF}_3\text{CS}$]; 115 (100) [CH_2SCF_3]; 103 (9) [$\text{CH}_2\text{C}(\text{S})\text{OC}_2\text{H}_5$]; 89 (18) [CSOC_2H_5]; 76 (69) [CS_2]; 69 (48) [CF_3]; 58 (45) [CHSO]; 47 (64) [COF]; 45 (72) [OC_2H_5].

$\text{C}_5\text{H}_7\text{F}_3\text{OS}_2$ (204.2): Ber.: C, 29.4; H, 3.4; S, 31.4%. Gef.: C, 29.7; H, 3.4; S, 31.0%.

Bis(trifluormethylsulphanyl)thioessigsäureethylester (**6b**): Einw.: 2.9 g (10.1 mmol) **5b**, 4.45 g (10.0 mmol) P_4S_{10} ; Reaktionsbedingung: 14 d, 180

[°]C; Trennparameter: 3 m (i.D. = 6 mm) Säule, OV 101, 10% auf Chromosorb P AW, 60–80 mesh, 160 °C, He-Strom: 80 ml min⁻¹. Ausb.: 1.95 g (64.1%), Sdp.: 46 °C/10⁻² Torr, gelb gefärbte Flüssigkeit. IR (cm⁻¹): 2991 (m); 1515 (m); 1466 (m); 1395 (s); 1375 (s); 1311 (vs); 1100 (vs); 1015 (s); 904 (m); 811 (m); 757 (s); 668 (m); 458 (m); 406 (m). ¹H-NMR δ: 1.42 (t, 3H, CH₃); 4.54 (q, 2H, CH₂); 5.53 [s, 1H, CH(SCF₃)₂] ppm. ¹⁹F-NMR δ: -41.62 (s, 6F, 2CF₃) ppm. ¹³C-NMR δ: 12.8 [q, ¹J(C-H) = 127.8 Hz, CH₃]; 55.9 [d, ¹J(C-H) = 162.1 Hz, CH(SCF₃)₂]; 70.1 [t, ¹J(C-H) = 156.7 Hz, von q, ³J(CH₂-CH₃) = 3.8 Hz, CH₂]; 128.8 [q, ¹J(C-F) = 310.9 Hz, CF₃]; 209.9 (s, C=S) ppm. MS [m/z (rel. Int.)]: 304 (8) [M⁺]; 215 (14) [CH(SCF₃)₂]; 203 (2) [CH(SCF₃)C(S)OC₂H₅]; 175 (9) [CH(SCF₃)C(S)OH]; 147 (4) [CH₂SCF₃(S)]; 89 (16) [C(S)OC₂H₅]; 69 (38) [CF₃]; 45 (100) [CSH/C₂H₅O].

C₆H₆F₆OS₃ (304.3): Ber.: C, 23.7; H, 1.9; S, 31.6%. Gef.: C, 23.7; H, 1.5%; S, 31.0%.

Trifluormethylselanylthioessigsäureethylester (**6c**): Einw.: 2.35 g (10.0 mmol) **5c**, 4.45 g (10.0 mmol) P₄S₁₀; Reaktionsbedingung: 4 d, 115 °C; Trennparameter: 3 m (i.D. = 6 mm) Säule, OV 101, 10% auf Chromosorb P AW, 45–60 mesh, 150 °C, He-Strom: 80 ml min⁻¹. Ausb.: 1.1 g (44.1%), Sdp.: 91 °C/5 Torr, dunkel gelb gefärbte Flüssigkeit. IR (cm⁻¹): 2988 (m); 1445 (m); 1405 (m); 1368 (s); 1300 (vs); 1224 (s); 1180 (s); 1096 (vs); 1020 (s); 739 (s). ¹H-NMR δ: 1.28 (t, 3H, CH₃); 3.96 (s, 2H, CH₂SeCF₃); 4.38 (q, 2H, CH₂) ppm. ¹⁹F-NMR δ: -35.1 (s, 3F, CF₃) ppm. ¹³C-NMR δ: 13.1 [q, ¹J(C-H) = 127.8 Hz, CH₃]; 36.8 [t, ¹J(C-H) = 146.7 Hz, CH₂SeCF₃], 69.4 [t, ¹J(C-H) = 148.8 Hz, von q, ³J(CH₂-CH₃) = 3.8 Hz, CH₂]; 122.2 [q, ¹J(C-F) = 330.0 Hz, CF₃]; 214.3 (s, C=S) ppm. ⁷⁷Se-NMR δ: 491.0 (s, Se) ppm. MS [m/z (rel. Int.)]: 252 (26) [M⁺]; 224 (1) [CH₂SeCF₃C(S)OC₂H₅]; 207 (7) [CH₂SeCF₃CS]; 191 (3) [CH₂SeCF₃CO]; 183 (61) [CH₂SeC(S)OC₂H₅]; 163 (23) [CH₂SeCF₃]; 155 (39) [CH₂SeCSO]; 103 (8) [CH₂C(S)OC₂H₅]; 94 (11) [CH₂Se]; 80 (5) [Se]; 75 (51) [CH₂CSO]; 69 (24) [CF₃]; 59 (38) [CH₂CSH]; 58 (47) [CH₂CS]; 45 (36) [CSH/C₂H₅O]; 43 (31) [CH₂CO]; 29 (100) [C₂H₅].

C₅H₇F₃OSSe (251.1): Ber.: C, 23.9; H, 2.8; S, 12.75%. Gef.: C, 23.9; H, 2.7; S, 12.65%.

Bis(trifluormethylselanyl)thioessigsäureethylester (**6d**): Einw.: 3.85 (10.0 mmol) **5d**, 4.45 g (10.0 mmol) P₄S₁₀; Reaktionsbedingung: 8 d, 145 °C; Trennparameter: 3 m (i.D. = 6 mm) Säule, OV 101, 10% auf Chromosorb P AW, 60–80 mesh, 170 °C, He-Strom: 80 ml min⁻¹. Ausb.: 1.4 g (35%), Sdp.: 84 °C/5 × 10⁻² Torr, tief gelb gefärbte Flüssigkeit. IR (cm⁻¹): 2987 (m); 1451 (m); 1415 (m); 1369 (s); 1303 (vs); 1225 (s); 1180 (vs); 1139 (s); 1100 (s); 1070 (vs); 1023 (m); 738 (s). ¹H-NMR δ: 1.28 (t, 3H, CH₃); 4.42 (q, 2H, CH₂); 5.48 [s, 1H, CH(SeCF₃)₂] ppm. ¹⁹F-NMR δ: -35.0 (s, 6F, 2CF₃) ppm. ¹³C-NMR δ: 13.6 [q, ¹J(C-H) = 125.2 Hz, CH₃]; 53.7 [d, ¹J(C-H) = 144.5 Hz, CH(SCF₃)₂]; 71.4 [t, ¹J(C-H) = 149.6 Hz, von q, ³J(CH₂-CH₃) = 4.3 Hz, CH₂]; 125.8 [q, ¹J(C-F) = 311.0 Hz, von d, ⁴J(CF₃-SeCH) = 3.9 Hz, CF₃]; 212.8 (s, C=S) ppm. ⁷⁷Se-NMR δ: 597 (s, 2Se) ppm. MS [m/z (rel. Int.)]: 400 (31) [M⁺]; 372 (2) [CH(SeCF₃)₂C(S)OH];

355 (13) [CH(SeCF₃)₂CS]; 331 (43) [CHSeCF₃(Se)C(S)OC₂H₅]; 311 (20) [CH(SeCF₃)₂]; 251 (48) [CH(SeCF₃)C(S)OC₂H₅]; 223 (19) [CH(SeCF₃)C(S)OH]; 206 (16) [CH(SeCF₃)CS]; 163 (60) [CH₂SeCF₃]; 149 (5) [CF₃Se]; 93 (100) [CHSe]; 89 (5) [CSOC₂H₅]; 80 (4) [Se]; 69 (85) [CF₃]; 50 (3) [CF₂]; 45 (31) [CSH/C₂H₅O].

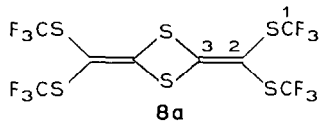
C₆H₆F₆OSSe₂ (398.1): Ber.: C, 18.0; H, 1.5; S, 8.0%. Gef.: C, 17.7; H, 1.4; S, 8.4%.

Reaktionen zur Darstellung von 7

Darstellung des Dithietan 8a und Trithiolans 8b

In einem ausgeheizten 50 ml Kolben, ausgestattet mit Rückflusskühler, aufgesetztem CaCl₂/KOH-Trockenrohr sowie Magnetrührstab wird eine Suspension aus P₄S₁₀ in 25 ml abs. Toluol und den in Tabelle 1 angegebenen Mengen (CF₃S)₂CHC(O)Cl, (CF₃S)₂CHC(O)OH bzw. (CF₃S)₂C=C=O auf 145 °C erhitzt. Nach 2 bis 3 Tagen wird die jetzt rötliche Lösung über eine trockene G3-Umkehrfritte vom anhaftenden Feststoff getrennt, das Lösungsmittel i. Vak. (10⁻³ Torr) entfernt, sowie der Rückstand i. Vak. destillativ vorfraktioniert. Das rötlich gefärbte Produktengemisch wird mittels 'Reverse-Phase HPLC' in seiner prozentuellen Zusammensetzung bestimmt und präparativ im Milligrammassstab getrennt. Trennparameter: 50 mm (i.D. = 20 mm) Säule, Spherisorb ODS II-5μ Phase-separations; CH₃OH/H₂O = 85:15; Flussgeschwindigkeit: 18 l min⁻¹. Sdp. (Gemisch): 99 °C/10⁻³ Torr.

2,4-Bis[bis(trifluormethylsulphanyl)methylen]-1,3-dithietan (**8a**):



Sdp.: 121 °C/10⁻³ Torr, gelb gefärbte ölige Flüssigkeit. IR (cm⁻¹): 1511 (s); 1454 (m); 1149 (vs); 1107 (vs); 982 (s); 964 (s); 935 (s); 909 (m);

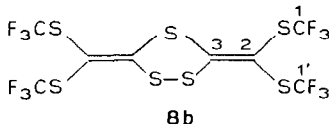
TABELLE 1

Einwaagen, Ausb. und Produktverhältnisse

Edukt	Einwaage [g (mmol)]	P ₄ S ₁₀ [g (mmol)]	Ausb. [g (%)]	Produktzusammen- setzungsverhältnis (%)	
				8a	8b
I	4.75 (17.1)	3.6 (8.1)	1.40 (31)	63	37
II	2.5 (9.6)	2 (4.5)	1.35 (54)	87	13
II	2.5 (9.6)	4.2 (9.5)	1.21 (48)	65	35
II	2.5 (9.6)	6.5 (14.6)	0.85 (33)	55	45
III	1.4 (5.8)	0.75 (1.7)	0.38 (25)	61	39

858 (m); 798 (m); 758 (vs); 731 (vs); 672 (m); 597 (m); 567 (m); 531 (s); 476 (s). $^{19}\text{F-NMR}$ δ : -42.0 (s, 12F, 4CF_3) ppm. $^{13}\text{C-NMR}$ δ : 100.6 [s, C-2, $C(\text{SCF}_3)_2$]; 128.1 [q, C-1, $^1J(\text{C}-\text{F})=316.6$ Hz, CF_3]; 151.6 (s, C-3) ppm. MS [m/z (rel. Int.)]: 516 (51) [M^+]; 447 (26) [$\text{M}^+ - \text{CF}_3$]; 378 (8) [$\text{M}^+ - 2(\text{CF}_3)$]; 346 (7) [447 - SCF_3]; 277 (5) [346 - CF_3]; 189 (28) [$\text{CF}_3\text{SC}(\text{S})\text{CS}$]; 145 (47) [CF_3SCS]; 88 (58) [C_2S_2]; 76 (16) [CS_2]; 69 (100) [CF_3]; 44 (13) [CS].

2,5-Bis[bis(trifluormethylsulphanyl)methylen]-1,3,4-trithiolan (**8b**):



Smp.: 17 °C, roter Feststoff. $^{19}\text{F-NMR}$ δ : -41.3 (s, F-1', 6F, 2CF_3); -41.5 (s, F-1, 6F, 2CF_3) ppm. $^{13}\text{C-NMR}$ δ : 102.1 [s, C-2, $C(\text{SCF}_3)_2$]; 127.9 [q, C-1, $^1J(\text{C}-\text{F})=314.5$ Hz, CF_3]; 128.2 [q, C-1', $^1J(\text{C}-\text{F})=314.7$ Hz, CF_3]; 176.2 (s, C-3) ppm. MS [m/z (rel. Int.)]: 548 (44) [M^+]; 477 (8) [$\text{M}^+ - \text{CF}_3$]; 410 (8) [$\text{M}^+ - 2(\text{CF}_3)$]; 258 (6) [$(\text{CF}_3\text{S})\text{CCS}$]; 221 (8) [$\text{CF}_3\text{SC}(\text{S})\text{CS}_2$]; 189 (22) [$\text{CF}_3\text{SC}(\text{S})\text{CS}$]; 145 (81) [CF_3SCS]; 88 (95) [C_2S_2]; 76 (9) [CS_2]; 69 (100) [CF_3]; 44 (8) [CS].

Dank

Dem Minister für Wissenschaft und Forschung des Landes Nordrhein-Westfalen danken wir für die finanzielle Unterstützung.

Literatur

- 1 F. Pedersen, R. Gronbæk Hazell and A. Senning, *Chem. Ztg.*, **113** (1989) 255; G. Adiwidjaja, C. Kirsch, F. Pederson, E. Schaumann, G. C. Schmerse and A. Senning, *Chem. Ber.*, **124** (1989) 1485.
- 2 M. S. Raasch, *Chem. Commun.*, (1966) 577; *J. Org. Chem.*, **35** (1970) 3570.
- 3 C. Haase, *Diplomarbeit*, Universität Hamburg, 1985.
- 4 A. Haas and H.-W. Praas, *Chem. Ber.*, **125** (1992) 571.
- 5 W. C. Mendelson, Jih Hua Lin, L. B. Killner Jr. and S. H. Levison, *J. Org. Chem.*, **48** (1983) 298.
- 6 A. Haas, M. Lieb and H.-W. Praas, *J. Fluorine Chem.*, **44** (1989) 329; H.-W. Praas, *Dissertation*, Ruhr-Universität, Bochum, 1991.
- 7 H. Staudinger, G. Rathsam and F. Kjelsberg, *Helv. Chim. Acta*, **3** (1920) 853; H. C. Vogler and J. F. Avens, *Recl. Trav. Chim. Pays-Bas*, **76** (1957) 847; E. Campagne, *Chem. Rev.*, **46** (1946) 39; S. Scheibye, B. S. Pederson and S. O. Lawesson, *Bull. Soc. Chim. Belg.*, **87** (1978) 229.
- 8 L. C. Rinzenma, J. Stoffelsma and J. F. Avens, *Recl. Trav. Chim. Pays-Bas*, **78** (1959) 357.
- 9 M. Book, B. Solouki, G. Bert and P. Rosmus, *J. Am. Chem. Soc.*, **99** (1977) 1663.
- 10 A. Schönberg, W. Knöfel, E. Fese and K. Praetcke, *Chem. Ber.*, **103** (1970) 949.
- 11 H. Kohn and Y. Gopichard, *Tetrahedron Lett.*, (1976) 3093.
- 12 E. U. Elam, F. H. Rash, J. T. Dougherty, V. W. Doodlett and K. C. Brannock, *J. Org. Chem.*, **33** (1968) 2738.
- 13 C. W. Tullock and D. D. Coffman, *J. Org. Chem.*, **25** (1960) 2016.
- 14 J. W. Dale, H. J. Emeléus and R. N. Haszeldine, *J. Chem. Soc.*, (1958) 2939.
- 15 J. K. Ruff, *Inorg. Chem.*, **4** (1965) 567.